



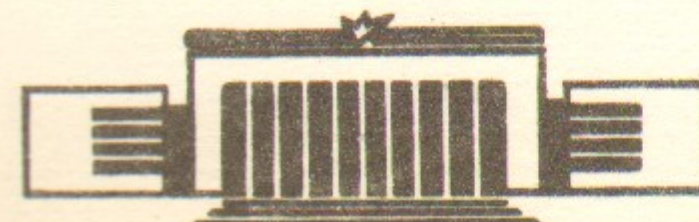
ИНСТИТУТ ЯДЕРНОЙ ФИЗИКИ СО АН СССР

2

В.Н.Доровский, А.М.Искольдский,
Е.И.Роменский

О МОДЕЛИРОВАНИИ ГИДРОДИНАМИЧЕСКОЙ
СТАДИИ ФАЗОВЫХ ПРЕВРАЩЕНИЙ
ПРИ ЭЛЕКТРИЧЕСКОМ НАГРЕВЕ
МЕТАЛЛОВ

ПРЕПРИНТ 83-91



НОВОСИБИРСК

О МОДЕЛИРОВАНИИ ГИДРОДИНАМИЧЕСКОЙ СТАДИИ ФАЗОВЫХ
ПРЕВРАЩЕНИЙ ПРИ ЭЛЕКТРИЧЕСКОМ НАГРЕВЕ МЕТАЛЛОВ
(к теории электрического взрыва)

В.Н.Доровский^{*)}, А.М.Искольдский, Е.И.Роменский^{**)}

Аннотация

Сформулированы две группы моделей электрического взрыва. В первой группе, как и в известной модели теплового взрыва, имеется безразмерный начальный параметр δ_{kp} , зависящий от скорости энерговыделения, такой, что как только $B > \delta_{kp}$, положительные и ограниченные решения соответствующих задач отсутствуют. При этом в системе координат, связанной с поверхностью раздела жидкость-пар за конечное время формируется профиль температуры с бесконечным градиентом.

Во второй группе моделей нет сингулярных особенностей, и ситуация соответствует той, которая имеет место в теории теплового взрыва от ограниченного источника, где критерий взрыва в математическом отношении определяется иначе. Нефизические особенности ликвидируются за счет проведения хотя бы одной из оправданных модификаций моделей первой группы. Это происходит, если учесть: малые проводимость и теплопроводность пара-продукта взрыва; малые поправки (запаздывание) к феноменологическим законам (Фурье, Стокса); не фиксировать строго температуру межфазной границы. В упрощенных - электротехнических - моделях к тому же результату ведет учет паразитной емкости, включенной параллельно проводнику или шунтирующего проводник сопротивления. Межфазная поверхность, отделяющая жидкий металл, по которому течет ток, от пара, неустойчива по отношению к маломасштабным возмущениям.

^{*)} Институт геологии и геофизики СО АН СССР.

^{**) Институт математики СО АН СССР.}

О МОДЕЛИРОВАНИИ ГИДРОДИНАМИЧЕСКОЙ СТАДИИ ФАЗОВЫХ
ПРЕВРАЩЕНИЙ ПРИ ЭЛЕКТРИЧЕСКОМ НАГРЕВЕ МЕТАЛЛОВ
(к теории электрического взрыва)

В.Н.Доровский, А.М.Искольдский, Е.И.Роменский
(Новосибирск)

В работе рассмотрен ряд вопросов, связанных с появлением особенностей (сингулярностей) в решениях задачи о парообразовании при быстром электрическом нагреве металлов. Стадия парообразования определяет эффективность электровзрывных прерывателей тока, используемых в электрических цепях с энергоемкими индуктивными накопителями [1,2]. На этой стадии формируется неоднородная пространственная структура - "страты", существенно влияющая на ход последующих стадий, - обстоятельство, с которым часто приходится считаться.

Несмотря на то, что при быстром электрическом нагреве металла фазовая траектория (в ρ - T плоскости) ведет себя необычно [3], при встрече ее с линией (поверхностью) равновесного фазового превращения начинается процесс интенсивного образования зародышей новой фазы. Мы не затрагиваем микроскопической кинетики зародышеобразования, а рассматриваем последующую - гидродинамическую стадию развития процесса.

Будем считать, что фазовые превращения идут при неизменной температуре, а энергобаланс сводится к тому, что вся энергия, поступившая в объем, контролируемый одиночным зародышем, расходуется на производство новой фазы. В отношении среднего расстояния между активными зародышами, величина которого определяет контролируемый одиночным зародышем объем, вначале примем, что оно меньше характерного теплопроводного размера.

Одна из моделей парообразования, фактически основанная на таких предположениях, - модель поверхностей волн испарения [1,4]. Подобные упрощенные - "электротехнические" - модели можно получить из более общих - "полевых" - положив, что характерный размер, рассматриваемый в задаче, мал, и времена перераспределения на этом размере тепла и магнитного поля существенно меньше времени образования новой фазы.

Оба класса моделей вызывают определенное недоверие по ряду причин.

Одна из них, которую мы и будем рассматривать, состоит в том, что при некоторых начальных условиях разрушаются регулярные решения правдоподобно поставленных задач. Например, для модели поверхности волны испарения это происходит, если прерыватель тока включен в цепь индуктивного накопителя энергии. Здесь такие величины как скорость межфазной границы и напряжение на переключателе могут нарастать во времени сингулярным образом по мере приближения к особой точке - моменту "взрыва" [4].

Похожая ситуация - "градиентный взрыв" [6,7] возникает в соответствующей задаче для уравнения теплопроводности [5,10] а также в более сложных моделях [8]: при темпе нагрева выше некоторого критического регулярные решения задачи отсутствуют. В связи с появлением подобных нефизических особенностей возникает вопрос - можно ли естественным образом модифицировать модель так, чтобы их устраниить. Такой прием преследует, в основном, практические цели и не может заменить анализа задачи в ее первоначальной формулировке [10].

I. Модель. Рассмотрим (фиг. I) зародыш новой фазы объемом $V = u\omega w$, находящийся внутри кубика, объемом $V_0 = h^3$, где h_0 - среднее расстояние между активными зародышами новой фазы. Для простоты примем $V_0 = 1$, и поместим зародыш в правый нижний угол этого единичного объема. Пусть ток течет вдоль оси Z , а все выделившееся в объеме V_0 дюоулеово тепло сразу расходуется на образование новой фазы.

Полный ток, проходящий через единичное поперечное сечение, равен сумме двух

$$I_0 = I_1 + I_2$$

где I_1 - полный ток в исходной фазе в нижнем сечении V_0 , а I_2 - полный ток через поперечное сечение новообразования: $I_2 = j_1(1-u\omega)$, $I_1 = j_2 u\omega$, где j_1, j_2 - соответствующие плотности тока в нижнем сечении, а $j_2 = I_0$ - плотность тока в верхнем сечении. Пусть $\epsilon_2 = \epsilon \epsilon_1$, ϵ_1 - проводимость новой и старой фаз. Из непрерывности электрического поля на границе раздела фаз, используя закон Ома

$$j_2 = \epsilon j_1 E$$

имеем $j_2 = \epsilon j_1$ и, следовательно, для плотности тока

$$j_1 = j_0 / (1 + u\omega(\epsilon - 1))$$

Выражение для суммарной мощности дюоулеева нагрева состоит из пяти слагаемых (фиг. I). Для мощности в объеме новой фазы имеем $W_1 = \frac{j_1^2}{\epsilon_2} u\omega = \frac{\epsilon_1 j_1^2}{\epsilon_2} u\omega$. Остальные слагаемые $W_2 = \frac{j_1^2}{\epsilon_1} u\omega(1-u)$, $W_3 = \frac{\epsilon_1}{\epsilon_2} (j_1^2) u\omega(1-u)$, $W_4 = (\frac{j_1^2}{\epsilon_1}) (1-u)(1-u\omega) u$, $W_5 = (j_0/\epsilon_1)(1-u)$. Таким образом, имеем модель

$$\sum_{i=1}^5 W_i = \lambda V_0 \frac{du\omega w}{dt}$$

где λ - теплота фазового перехода единицы объема. Вводя характерное время процесса $\tau = \lambda V_0 \epsilon_1 / j_0^2$, где j_0 - плотность тока в начальный момент, имеем

$$(I.I) \boxed{\frac{\epsilon u\omega w + u\omega(1-u) + u\omega(1-u)(1-u)\epsilon + (1-u)}{(1+u\omega(\epsilon-1))^2} + (1-u)} = \frac{du\omega w}{dt}$$

где I^2 - квадрат тока (свободная функция: $I^2|_{t=0} = 1$), а дифференцирование идет по безразмерному времени $t = \frac{t\tau}{V_0}$. Выражение (I.I) связывает три величины u , w , ω . Для замыкания модели необходимо задаться еще двумя соотношениями между этими величинами. Отметим, что размеры u и w входят в (I.I) симметрично, а величина $S = u\omega$ есть площадь поперечного сечения зародыша. Обозначим характерный поперечный размер $\ell = \sqrt{u\omega}$, а форму зародыша будем характеризовать отношением поперечного размера к продольному

$$k = \ell / u$$

Проблему выбора последнего определяющего соотношения мы здесь не будем обсуждать, заметим лишь, что модель можно замкнуть, положив $k = 1$. Это условие следует, например, из предположения о том, что в процессе роста исходная форма зародыша не изменяется. Поскольку речь идет о фазовых переходах первого рода, сопровождающихся изменением объема, необходимо сделать еще ряд предположений. Будем считать, что в течение характерного времени τ давление внутри V_0 остается постоянным, и что поток массы (тепла) внутрь V_0 со стороны соседей отсутствует. В первом приближении это может быть так, если

характерное звуковое время существенно больше τ . Выражение в квадратных скобках в (I.1) есть некоторое эффективное нелинейное сопротивление, изменяющееся в ходе процесса. Рассмотрим некоторые частные случаи уравнения (I.1).

Модель поверхностной волны испарения [I.4], получается из (I.1), если положить $U=W=1$ и $\varepsilon=0$. Тогда

$$(I.2) \quad I^2 \frac{1}{1-U} = \frac{dU}{dt}.$$

Справа в (I.2) стоит скорость движения межфазной границы, а сопротивление ведет себя как $(1-U)^{-1}$. Из (I.2) с учетом произвольности I^2 следует, что в конце процесса ($U=I$) такие физические характеристики как скорость движения межфазной границы и сопротивление могут расти до бесконечности сингулярным образом, и лишь в некоторых частных случаях, когда квадрат тока уменьшается быстрее, чем $U=1-U$ — размер проводника, особенность не возникает. Эта особенность локализована в точке $\varepsilon=0$, $U=I$ и устраняется как только $\varepsilon \neq 0$.

Поэтому можно сразу модифицировать модель, положив, что новая фаза имеет не строго нулевую проводимость.

Модифицированная модель

$$(I.3) \quad I^2 \frac{1}{1+U(\varepsilon-1)} = \frac{dU}{dt}$$

в точке $U=I$ дает конечное значение скорости $dU/dt = I^2/\varepsilon$.

Величина тока в (I.2) доопределяется, если рассматриваемое нелинейное сопротивление является элементом электрической цепи с заданными характеристиками. В простейшем случае $I^2=I$ — режим постоянного тока. В этом режиме для исчезающего попечного размера исходной фазы $U=1-U$ из $I^2=U\dot{U}=1$ имеем

$$(I.4) \quad U = \sqrt{1-2t}$$

и особенность возникает в момент $t_{\infty} = \frac{1}{2}$ — момент "взрыва". На то, что в режиме постоянного тока решение аналитически непротиворечиво, обычно не обращают внимания: появление особенности

связывается с неудачным выбором источника ($I=I$). Однако, ниже будет показано, что это не так.

Другие частные случаи (I.1). Модель двуслойной структуры получается из (I.1) при $U=W=1$, $\varepsilon \neq 0$

$$(I.5) \quad I^2 \frac{\varepsilon + \sigma(1-\varepsilon)}{\varepsilon} = \frac{dU}{dt}.$$

Здесь U — продольный размер слоя новой фазы.

Если рост зародыша происходит лишь за счет энергии, выделяющейся в исчезающем объеме первоначальной фазы (например, когда новая фаза обладает плохой теплопроводностью), то

$$(I.6) \quad I^2(1-U) = \frac{dU}{dt}$$

случай, обратный (I.2). Менее вырожденной в сравнении с (I.2) — (I.6) является двумерная модель, соответствующая случаю $W=I$:

$$I^2 \left[\frac{\varepsilon U \sigma + \sigma(1-U)}{(1+U(\varepsilon-1))^2} + (1-\sigma) \right] = \frac{dU \sigma}{dt}.$$

2. Прерыватель в цепи с ограниченным энергозапасом. Изучим поведение модели (I.2) с более правдоподобными источниками тока [4].

Рассмотрим нелинейный RLC -контур. Уравнение для тока в RLC -контуре имеет вид

$$(2.1) \quad L \frac{dI}{dt} + RI = U_c - \frac{1}{C} \int I dt,$$

где L — индуктивность, C — емкость, U_c — напряжение на емкости в начальный момент. Возвращаясь к физическому времени, имеем для модели (I.2)

$$(2.2) \quad I = I_0 \sqrt{\tau} \sqrt{1-U^2},$$

где I_0 — ток в $t = 0$, а для нелинейного сопротивления справедлива формула

$$(2.3) \quad R = R_0 / y$$

Подставляя (2.2), (2.3) в (2.1) и дифференцируя еще один раз, получаем исходное уравнение на безразмерную толщину исчезающей фазы $y(t)$:

$$(2.4) \quad \frac{d^2}{dt^2} \left(\sqrt{-y\dot{y}} \right) + \frac{1}{\tau_1} \frac{d}{dt} \left(\frac{\sqrt{-y\dot{y}}}{y} \right) + \frac{1}{\tau} \sqrt{-y\dot{y}} = 0.$$

Здесь $\tau_1 = L/R$. Начальные условия для (2.4) имеют вид

$$(2.5) \quad \begin{aligned} y(0) &= 1 \\ \dot{y}(0) &= -1/\tau \\ \ddot{y}(0) &= -(1+2\delta\gamma)/\tau^2 \end{aligned}$$

где $\gamma = U_c / (I_0 R_0) - 1$, $\delta = \tau / \tau_1$.

Будем искать решение уравнения (2.4) в виде

$$(2.6) \quad y = C_1 x^{\varepsilon_0} \left(1 + C_2 x^{\varepsilon_1} + C_3 x^{\varepsilon_2} + \dots \right),$$

где $x = t_0 - t$, $\varepsilon_0, \varepsilon_1, C_i$ — константы; $\varepsilon_0 > 0$, $\varepsilon_i > 0$. При такой записи сингулярность может возникать при $x = 0$, т.е. при $t = t_0$. Вычисляя \dot{y} , \ddot{y} , подставляя в (2.4) и ограничиваясь членами главного порядка, находим

$$(2.7) \quad C_1 \sqrt{\varepsilon_0} \left(\varepsilon_0 - \frac{1}{2} \right) \left(\varepsilon_0 - \frac{3}{2} \right) x^{\varepsilon_0 - \frac{5}{2}} + \frac{\sqrt{\varepsilon_0} x^{-\frac{3}{2}}}{2\tau_1} + C_1 \frac{\sqrt{\varepsilon_0} x^{\varepsilon_0 - \frac{1}{2}}}{\tau_0^2} = 0,$$

где $\tau_0 = \sqrt{L/C}$.

Из анализа соотношения степеней в (2.7) видно, что может существовать три типа решений:

- а) $\varepsilon_0 = 0$, C_1 — произвольная,
- б) $\varepsilon_0 = 1$, $C_1 = 2/\tau_1$,
- в) $\varepsilon_0 = 1/2$, C_1 — произвольная.

Решения типа а) регулярные, т.е. они представляются рядами по целым степеням x , физически соответствуют случаю, когда начальной энергии контура недостаточно для перевода всего прерывателя в пару $y_t \rightarrow \infty$ $\tau < 1$. Решения типа б) физически соответствуют случаю точного равенства запасенной энергии теплоте перехода. Решения типа в) — случай, когда запасенная энергия превышает теплоту фазового перехода.

После нахождения степеней главного порядка при подстановке (2.6) в уравнение (2.4) последовательно определяются степени ε_i и возникают рекуррентные соотношения для коэффициентов C_i . Анализ этих рекуррентных соотношений для случаев а) и в) показывает, что две константы C_1 и C_3 остаются произвольными, а остальные выражаются через них. Кроме того, произвольной остается и величина τ_0 .

Таким образом, число произвольных констант в задаче соответствует порядку уравнения, рекуррентные соотношения непротиворечивы, и решение (2.6) уравнения (2.4) является точным с радиусом сходимости τ_0 .

Для случая б) имеется только две произвольные константы τ_0 и C_3 . Это приводит к тому, что такие решения существуют лишь в условиях, когда между τ , γ и δ имеется дополнительная связь, соответствующая равенству $\tau = \frac{\gamma}{2} \tau_0^{1/2}$. Выпишем решения для случая в) с четырьмя первыми членами ряда

$$(2.7) \quad y = C_1 x^{1/2} \left(1 + C_2 x^{1/2} + C_3 x + C_4 x^{3/2} + \dots \right),$$

где $C_2 = \frac{4}{(3\tau_1 C_1)}$, C_3 — произвольна, $C_4 = \frac{8 \left(C_3 - \frac{\delta}{3\tau_1^2 C_1^2} \right)}{(15\tau_1 C_1)}$. Из (2.7) видно, что точка $x = 0$ ($t = t_0$) является сингулярной, а ряд строится по переменной $x^{1/2}$.

Для построения полного решения необходимо найти явный вид C_1 , C_3 , τ_0 из начальных условий (2.5). Приведем окончательные результаты для случая $\delta = \tau / \tau_1 \ll 1$, когда энергия, запасенная только в индуктивности, существенно больше

теплоты перехода

$$C_1 = \sqrt{2/k} (1 - (1+\delta) \delta/4)$$

$$C_2 = \frac{2\sqrt{2}}{3\sqrt{\tau}} \delta$$

$$C_3 = -\frac{(1+\delta)}{4} \frac{\delta}{\tau}$$

$$t_0 = \frac{\tau}{2} \left(1 + \frac{(1-3\delta)\delta}{6} \right), C_4 \sim C_5 \sim \delta^2.$$

В главном порядке по δ имеем

$$(2.8) \quad y = \sqrt{2/\tau} (\tau_{1/2} - t)^{1/2}.$$

Переходя к безразмерному времени, имеем

$$(2.9) \quad y = \sqrt{2} (1 - 2t)^{1/2}$$

и сравнивая (2.9) с (I.4), получаем, что в рассмотренном случае в главном порядке воспроизводится решение, соответствующее режиму постоянного тока.

Рассмотрим индуктивный накопитель ($U_C = 0, \gamma = -I$). В этом случае (2.4) переходит в

$$(2.10) \quad y\ddot{y} + \dot{y}^2 + \frac{2}{\tau_1} \dot{y} = 0.$$

Решения уравнения (2.10) с учетом начальных условий таковы

a) - незавершенный переход

$$(2.II) \quad y = \frac{\tau c_1}{2} \left(1 + \exp \left(-\frac{4t}{\tau_1^2 c_1} \right) \right).$$

Здесь $c_1 = \frac{2}{\tau_1} - \frac{1}{\tau} > 0$. Асимптотическое значение $y = 1 - \tau_1/2\tau$.

b) - случай точного равенства энергий ($E_0 = I$):

$$y = \frac{2}{\tau_1} (t_0 - t), \quad t_0 = \tau = \tau_1/2.$$

v) - сингулярный режим ($E_0 = I/2$):

$$y - \frac{\tau_1 c_1}{2} \ln \left(1 + \frac{2}{\tau_1 c_1} y \right) = \frac{2}{\tau_1} (t_0 - t), \quad c_1 = \frac{1}{\tau} - \frac{2}{\tau_1} > 0$$

В отличие от (2.II) данное решение существует конечное время и при $\delta = \tau/\tau_1 \ll 1$ снова имеем

$$(2.I2) \quad y = \sqrt{2/\tau} (\tau_{1/2} - t)^{1/2} + \dots$$

Рассмотрим емкостный накопитель. Уравнение контура имеет вид

$$RI + \frac{1}{C} \int I dt = U_C,$$

и для характерного размера y получаем

$$(2.I3) \quad y\ddot{y} - \dot{y}^2 + \frac{2}{\tau_3} y^2 \dot{y} = 0,$$

где $\tau_3 = R_0 C$. Существует три вида решений (2.I3):

a) - незавершенный переход

$$y = \gamma \frac{1}{\gamma + (1/\tau_3)(1 - e^{-\gamma t})},$$

$$y|_{t=\infty} = 1 - \frac{\tau_3}{2\tau}, \quad U \rightarrow 0, \quad I \rightarrow 0, \quad R \rightarrow \frac{2R_0}{\tau_3} > R_0$$

b) - случай точного равенства энергий

$$y = 1/(1 + t/\tau),$$

здесь

$$y|_{t=\infty} \sim \frac{\tau}{\tau} \rightarrow 0, \quad U = U_0 y^{1/2} \rightarrow 0, \quad I = I_0 y^{3/2} \rightarrow 0, \quad R \rightarrow \infty.$$

Наиболее интересен случай в)

$$y = \frac{1/\gamma}{1/\gamma + (1/\tau)(e^{1/\gamma t} - 1)},$$

здесь

$$\gamma < 0, \quad y|_{t=\infty} \sim \tau |/\gamma | e^{-|/\gamma| t} \rightarrow 0, \quad R \rightarrow \infty.$$

На парообразование расходуется лишь часть запасенной энергии:

напряжение на емкости при $t \rightarrow \infty$ выходит на не равное нулю значение

$$U = \sqrt{C_1 \gamma} U_0 < U_0.$$

Сравнивая последний результат с (2.9), (2.12) видим, что у решений уравнений емкостного накопителя (2.13) нет сингулярных особенностей. Качественная разница между (2.10), где есть особенность, и (2.13), где ее нет, состоит в том, что член уравнения $\dot{\gamma}^2$ имеет в (2.10) положительный, а в (2.13) - отрицательный знак.

Для индуктивного накопителя мы с самого начала "планируем" особенность: энергопотребление ограничено теплотой парообразования, и если начальная энергия ее превышает, то имеется "излишек", который "негде хранить" (магнитная энергия в обесточенной цепи должна быть равной нулю). Для емкостного накопителя такой проблемы не возникает.

Далее мы рассматриваем физически более правдоподобные модели, в которых имеет место похожая ситуация. Однако здесь теряется наглядность предыдущего рассмотрения.

3. Полевые модели. Если тепло передается к поверхности новой фазы не мгновенно, то вместо (2.4) возникает краевая задача для уравнения теплопроводности (задача Стефана) [5,10]. Если проводимость новой фазы $\kappa_2 = 0$, то задача сводится к определению динамики профиля температуры внутри $h = \gamma h_0$ - исчезающего объема исходной фазы. В физических переменных задача формулируется следующим образом

$$C_P \frac{\partial T}{\partial t} = \kappa \frac{\partial^2 T}{\partial x^2} + \delta / \kappa$$

$$(3.1) \quad \kappa \frac{\partial T}{\partial x} \Big|_{x=h(t)} = \lambda \frac{dh(t)}{dt} .$$

Последнее равенство выражает энергобаланс на границе. Для плотности тока, определяющей интенсивность источника тепла в (3.1) выберем режим постоянного тока

$$(3.2) \quad \delta = \delta_0 / \gamma ,$$

в котором можно ожидать появления особенностей. Границные условия задачи таковы:

$$(3.3) \quad T \Big|_{x=h(t)} = 0 .$$

Условие (3.3) отражает изотермический характер процесса, кроме того

$$(3.4) \quad \frac{\partial T}{\partial x} \Big|_{x=0} = 0$$

из условия пространственной симметрии задачи. Начальное распределение температуры считаем заданным. В (3.1)-(3.4) C_P - теплоемкость единицы объема, κ - коэффициент теплопроводности, $y = h(t) / h_0$.

Для решения задачи перейдем в новую систему координат с неподвижной границей

$$\xi = x / h(t)$$

и с новым безразмерным временем η , определяемым из

$$\gamma^2(\eta) d\eta = dt / \tau$$

Безразмерная температура $\Theta = (C_P T) / \lambda$, а режим нагрева характеризуется числом Фурье $F_0 = \frac{1}{\delta} = \frac{\tau}{t_\chi}$, где как и прежде $\tau = Q \kappa^2 / \delta^2$, а $t_\chi = h_0^2 / \chi$ - характерное теплопроводное время ($\chi = \kappa / C_P$ - температуропроводность). С уменьшением числа Фурье интенсивность процесса нарастает.

В новых переменных задача принимает следующий вид:

$$(3.5) \quad \begin{aligned} \Theta_\eta + \frac{2\beta(1)}{\delta} \xi \Theta_\xi &= \frac{\Theta_{\xi\xi}}{\delta} + 1 , \\ \Theta_\xi \Big|_{\xi=1} &= -2 \beta(1) , \\ \Theta \Big|_{\xi=1} &= 0 , \quad \Theta_\xi \Big|_{\xi=0} = 0 . \end{aligned}$$

Для безразмерной толщины исходной фазы в этих обозначениях имеем

$$(3.6) \quad y(\eta) = \exp \left(- \frac{2 \int_0^\eta \beta(\eta') d\eta'}{\delta} \right) .$$

В (3.5) и далее для обозначения производных в новых переменных ξ, η используется нижний индекс.

Нетрудно убедиться в существовании стационарных по времени решений (3.5), (3.6) $\theta = \theta^*(\xi)$, $\beta = \beta^*$

$$(3.7) \quad \theta^*(\xi) = \frac{\delta}{4\beta} \int_{\xi^2}^{\beta} \frac{e^{-x}}{x^{1/2}} dx \int_0^x \frac{e^{-z}}{z^{1/2}} dz, \quad 0 \leq \xi \leq 1,$$

$$\gamma = \exp\left(-\frac{2\beta}{\delta}\eta\right), \quad 0 \leq \eta < \infty.$$

В (3.7) максимальный безразмерный температурный градиент определяется по заданному из дисперсионного соотношения

$$(3.8) \quad \delta = \frac{4\beta^{3/2} e^{-\beta}}{\int_0^{\beta} \frac{e^{-x}}{x^{1/2}} dx}.$$

Из (3.8) следует, что область существования стационарных решений ограничена по параметру δ (фиг.2). Максимум кривой расположен в точке $\delta \approx 2$, $\beta \approx 1$.

Рассмотрим устойчивость решений (3.7) относительно одномерных возмущений профиля $\theta^*(\xi)$. Возмущенные величины представим в виде

$$\theta = \theta^*(\xi) + \theta^1(\xi, \eta), \quad \theta^1 \ll \theta^*,$$

$$\beta = \beta^* + \beta^1(\eta), \quad \beta^1 \ll \beta^*.$$

В линейном приближении малые возмущения θ^1, β^1 удовлетворяют следующей системе уравнений

$$(3.9) \quad \begin{aligned} \theta^1_\eta + \frac{2\beta^*}{\delta} \xi \theta^1_\xi &= \frac{\theta^1_{\xi\xi}}{\delta} - 2\beta^1(\eta) \theta^*_{\xi\xi}, \\ \theta^1_{\xi}|_{\xi=1} &= -2\beta^1(\eta), \\ \theta^1|_{\xi=1} &= 0, \quad \theta^1_{\xi}|_{\xi=0} = 0. \end{aligned}$$

Исследование (3.9) показывает [5], что решения, соответствующие правой (находящейся) ветви дисперсионного соотношения (3.8) абсолютно неустойчивы по отношению к малым возмущениям начальных условий и, следовательно, как обычно считается, эта ветвь

физически не реализуется. Такое поведение характерно и для более сложной модели [8], где учитываются эффекты сканирования тока.

Особенность можно ликвидировать за счет выбора подходящего граничного условия. Однако это означает отказ от предположения об изометрическом характере процесса, а мы рассматриваем возможность оставить данное предположение в силе.

Рассмотрим случай $\epsilon_2 \neq 0$ и учтем сразу эффекты сканирования тока [9]:

$$C_P \frac{\partial T_1}{\partial t} = \alpha_1 \frac{\partial^2 T_1}{\partial x^2} + \frac{c^2}{16\pi\epsilon_1} \left(\frac{\partial H_1}{\partial x} \right)^2,$$

(3.10)

$$C_P \frac{\partial T_2}{\partial t} = \alpha_2 \frac{\partial^2 T_2}{\partial x^2} + \frac{c^2}{16\pi\epsilon_2} \left(\frac{\partial H_2}{\partial x} \right)^2.$$

В (3.10) и далее (фиг.3) индекс I означает принадлежность к исходной, а 2 – к вновь образующейся фазе; C – скорость света. Магнитные поля $H_1(x, t), H_2(x, t)$ удовлетворяют диффузионным уравнениям

$$\frac{4\pi C_1}{c^2} \frac{\partial H_1}{\partial t} = \frac{\partial^2 H_1}{\partial x^2},$$

$$(3.11) \quad \frac{4\pi C_2}{c^2} \frac{\partial H_2}{\partial t} = \frac{\partial^2 H_2}{\partial x^2}.$$

На движущейся границе раздела фаз выполняется условие баланса тепла

$$(3.12) \quad \left. \alpha_1 \frac{\partial T_1}{\partial x} \right|_{x=h(t)} - \left. \alpha_2 \frac{\partial T_2}{\partial x} \right|_{x=h(t)} = \lambda \frac{dh}{dt}.$$

Остальные граничные условия

$$(3.13) \quad \left. T_1 \right|_{x=h(t)} = \left. T_2 \right|_{x=h(t)} = 0.$$

Из непрерывности тангенциальных составляющих электрического и магнитного полей

$$(3.14) \frac{1}{G_1} \left. \frac{\partial H_1}{\partial x} \right|_{x=h(t)} = \frac{1}{G_2} \left. \frac{\partial H_2}{\partial x} \right|_{x=h(t)} .$$

Поток тепла через внешнюю границу отсутствует

$$(3.15) \left. \frac{\partial T_2}{\partial x} \right|_{x=h_0} = 0 .$$

Из симметрии задачи

$$(3.16) \left. \frac{\partial T_1}{\partial x} \right|_{x=0} = 0 .$$

Процесс будем рассматривать при постоянном токе

$$(3.17) I_0 = \frac{C}{2\pi} \left. H_2 \right|_{x=h_0}$$

Начальные распределения считаем заданными.

В задаче появляются две константы материала

$$\gamma_i = \frac{4\pi G_i x_i}{c^2 C p_i}, \quad i=1,2 \quad (F_0 = \frac{1}{8})$$

Темп нагрева здесь удобно характеризовать не числом Фурье, а отношением плотности энергии магнитного поля к удельной теплоте перехода

$$e = \frac{H_0^2}{k_1 \lambda} .$$

Задача (3.11)-(3.17) решена в [9] (см. Приложение).

Соотношение, играющее роль (3.8), здесь выглядит следующим образом

$$(3.18) e = \gamma_2 \beta \exp(\beta) \frac{\left(\int_0^1 e^{-\beta \gamma_2 \xi^2} d\xi \right)^2}{\int_0^1 e^{\beta(1-2\gamma_2)\xi^2} d\xi} .$$

В отличие от (3.8), (3.18) представляет собой монотонную функцию. Для каждого начального темпа нагрева e здесь находится своя единственная конечная скорость движения границы. В частности, при малых темпах нагрева имеем

$$\beta \approx e/\gamma_2$$

Величина $\gamma_2 \neq 0$, если $G_2 \neq 0$, $\gamma_2 = x_2/C p_2 \neq 0$.

Таким образом, в рассмотренной задаче особенность не возникает, если электропроводность и температуропроводность новой фазы не равны тождественно нулю. При этом градиент температуры на границе может оказаться большим, но конечным, а "градиентный взрыв" [5-8] как таковой отсутствует.

Еще одним достоинством модели (3.11)-(3.17) является то, что она может представлять одновременно и другие фазовые превращения первого рода, происходящие при электрическом нагреве металлов, в частности, - плавление и полиморфные превращения в твердой фазе в металлах группы титана.

4* ПРИЛОЖЕНИЕ

Исследуем систему (3.II)-(3.IV) [9] для температур $\theta_i = T_i C_p / \lambda$ и магнитных полей $\varphi_i = H_i / H_c$ имеем

$$\frac{1}{\chi_i} \frac{\partial \theta_i}{\partial t} = \frac{\partial^2 \theta_i}{\partial x^2} + \frac{2e}{\theta_i} \left(\frac{\partial \varphi_i}{\partial x} \right)^2,$$

$$\frac{\chi_i}{\theta_i} \frac{\partial \varphi_i}{\partial t} = \frac{\partial^2 \varphi_i}{\partial x^2}$$

с условиями

$$\chi_1 \frac{\partial \theta_1}{\partial x} \Big|_{x=h} - \chi_2 \frac{\partial \theta_2}{\partial x} \Big|_{x=h} = \frac{dh}{dt}$$

$$\frac{1}{\theta_1} \frac{\partial \varphi_1}{\partial x} \Big|_{x=h} = \frac{1}{\theta_2} \frac{\partial \varphi_2}{\partial x} \Big|_{x=h}$$

$$\varphi_1 \Big|_{x=h} = \varphi_2 \Big|_{x=h}$$

$$\theta_1 \Big|_{x=h} = \theta_2 \Big|_{x=h}$$

$$\frac{\partial \theta_1}{\partial x} \Big|_{x=0} = \frac{\partial \theta_2}{\partial x} \Big|_{x=h_0} = 0$$

$$\varphi_1 \Big|_{x=0} = 0, \quad \varphi_2 \Big|_{x=h} = 1.$$

Сделаем следующие замены переменных:

$$\xi = x / h(t)$$

для области

$$0 \leq x \leq h(t) \quad \text{и}$$

$$\xi = \frac{x - h_0}{h - h_0}$$

для области $h \leq x \leq h_0$.

Введем новые функции для первой фазы

$$\tilde{u} = \theta_1(\xi, \tau) / y^2, \quad \tilde{\varphi} = \varphi_1(\xi, \tau) / y$$

и переобозначим

$$v = \theta_2, \quad \psi = \varphi_2$$

для второй фазы. Получим систему

$$\frac{\tau_1}{\tau_2} (y^2 y_t \tilde{u}_y + 2yy_t \tilde{u} - yy_t \xi \tilde{u}_\xi) = \tilde{u}_{\xi\xi} + \frac{2e}{\theta_1} (\tilde{\varphi}_\xi)^2,$$

$$\frac{\tau_1 \tau_1}{\tau_2} (y^2 y_t \tilde{\varphi}_y + yy_t \tilde{\varphi} - yy_t \xi) = \tilde{\varphi}_{\xi\xi}$$

$$(1-y)^2 y_t v_y + (1-y) y_t \xi v_\xi = v_{\xi\xi} + \frac{2e}{\theta_2} (\psi_\xi)^2$$

$$\tau_2 (1-y)^2 y_c \psi_y + \tau_2 (1-y) y_c \xi \psi_\xi = \psi_{\xi\xi}$$

$$\frac{\tau_2}{\tau_1} y \tilde{u}_\xi \Big|_{\xi=1} + \frac{1}{(1-y)} \psi_\xi \Big|_{\xi=1} = y_t$$

$$(4.1) \quad \frac{1}{\theta_1} \tilde{\varphi}_\xi \Big|_{\xi=1} + \frac{1}{\theta_2 (1-y)} \psi_\xi \Big|_{\xi=1} = 0$$

$$\tilde{u}_\xi \Big|_{\xi=0} = v_\xi \Big|_{\xi=0} = 0$$

$$\tilde{\varphi} \Big|_{\xi=0} = 0, \quad \psi \Big|_{\xi=0} = 1$$

Система (4.1) при малых $y = h(t) / h_0$ (конец процесса) имеет не зависящие от τ решения

$$\tilde{u} = u^\circ(\xi), \quad \tilde{\varphi} = \varphi^\circ(\xi)$$

(4.2)

$$v = v^\circ(\xi), \quad \psi = \psi^\circ(\xi)$$

Функции (4.2) удовлетворяют системе

$$u_{\xi\xi}^\circ + \frac{2e}{\theta_1} (\varphi_\xi^\circ)^2 = 0$$

$$\varphi_{\xi\xi}^\circ = 0$$

(4.3)

$$u^\circ \Big|_{\xi=1} = 0$$

$$u^\circ \Big|_{\xi=0} = 0$$

$$(4.3) \quad \begin{aligned} \mathcal{V}_{\xi\xi}^{\circ} + 2\beta^{\circ}\xi \mathcal{V}_{\xi}^{\circ} &= -\frac{2e}{\delta_2} (\Psi_{\xi}^{\circ})^2 \\ \Psi_{\xi\xi}^{\circ} &= -2\beta^{\circ}\gamma_2 \xi \Psi_{\xi}^{\circ} \\ \mathcal{V}_{\xi}^{\circ} \Big|_{\xi=1} + 2\beta^{\circ} &= 0 \\ \frac{G_2}{G_1} \Psi_{\xi}^{\circ} \Big|_{\xi=1} + \Psi_{\xi}^{\circ} &= 0 \\ \mathcal{V}_{\xi}^{\circ} \Big|_{\xi=1} = 0, \quad \mathcal{V}_{\xi}^{\circ} \Big|_{\xi=0} &= 0 \\ \Psi \Big|_{\xi=0} = 1, \quad \Psi \Big|_{\xi=1} &= 0 \\ \Psi \Big|_{\xi=0} &= 0. \end{aligned}$$

Система (4.3) имеет решения

$$\begin{aligned} \Psi(\xi) &= \left(\int_0^1 e^{-\beta^{\circ}\gamma_2 \xi^2} d\xi \right) / \left(\int_0^1 e^{-\beta^{\circ}\gamma_2 \xi^2} d\xi \right) \\ \mathcal{V}^{\circ}(\xi) &= -\frac{2e}{\delta_2} \left(\int_0^1 e^{-\beta^{\circ}\xi^2} d\xi \int_0^{\xi} e^{\beta^{\circ}(1-2\gamma_2)\xi^2} d\xi \right) \\ &\quad \left(\int_0^1 e^{-\beta^{\circ}\xi^2} d\xi \right)^2 \\ \Psi^{\circ}(\xi) &= \frac{G_1}{G_2} \xi e^{-\beta^{\circ}\gamma_2 \xi^2} / \left(\int_0^1 e^{-\beta^{\circ}\gamma_2 \xi^2} d\xi \right) \\ \mathcal{U}^{\circ}(\xi) &= \frac{e}{\gamma_1} \left(\frac{G_1}{G_2} \right)^2 (1-\xi^2) e^{-2\beta^{\circ}\gamma_2 \xi^2} / \left(\int_0^1 e^{-\beta^{\circ}\gamma_2 \xi^2} d\xi \right)^2. \end{aligned}$$

Л и т е р а т у р а

- I. Bennet F.D., Kahl A.P., Wedemeyer E.H., Changes Caused by Ionization Waves in Exploding Wires, *Exploding Wires*, Vol. III, New York, Plenum Press, 1964.
2. Герасимов Л.С., Искольдский А.М., Нестерихин Ю.Е., Пинус В.К. Передача энергии из индуктивного накопителя с помощью электровзрывного размыкания тока, ПМТФ, 1975, № 1, с. 60-65.
3. Искольдский А.М., Роменский Е.И. Динамическая модель термоупругой сплошной среды с релаксацией давления. Препринт № II-83 ИЯФ СО АН СССР, 1983.
4. Искольдский А.М., Пинус В.К. Сингулярности в решениях уравнений электрического взрыва проводников. Препринт № Г7 ИАЭ СО АН СССР, 1974.
5. Искольдский А.М., Пинус В.К., Эпельбаум Я.Г. Электрический взрыв проводников. Препринт № 30, № 32, № 41 ИАЭ СО АН СССР, 1976.
6. Искольдский А.М., Нестерихин Ю.Е., Паташинский А.З., Пинус В.К., Эпельбаум Я.Г. Градиентный взрыв кипящей капли в условиях мощного объемного тепловыделения. ДАН СССР, 1977, т. 236, № 5.
7. Искольдский А.М., Нестерихин Ю.Е., Паташинский А.З., Пинус В.К., Эпельбаум Я.Г. О неустойчивости градиентного взрыва. ДАН СССР, 1977, т. 236, № 6.
8. Доровский В.Н., Искольдский А.М., Пинус В.К., Эпельбаум Я.Г. Скин-эффект при градиентном взрыве. Препринт № 68 ИАЭ СО АН, 1977.
9. Доровский В.Н. Динамика фазовых превращений при ЭВП. Плавление плоского проводника с учетом диффузии магнитного поля. Препринт № 95 ИАЭ СО АН СССР, 1979.
10. Пухначев В.В. О задаче Стефана, возникающей в одной модели электрического взрыва проводников. Труды семинара С.Л. Соболева, Новосибирск, 1976, № 2.

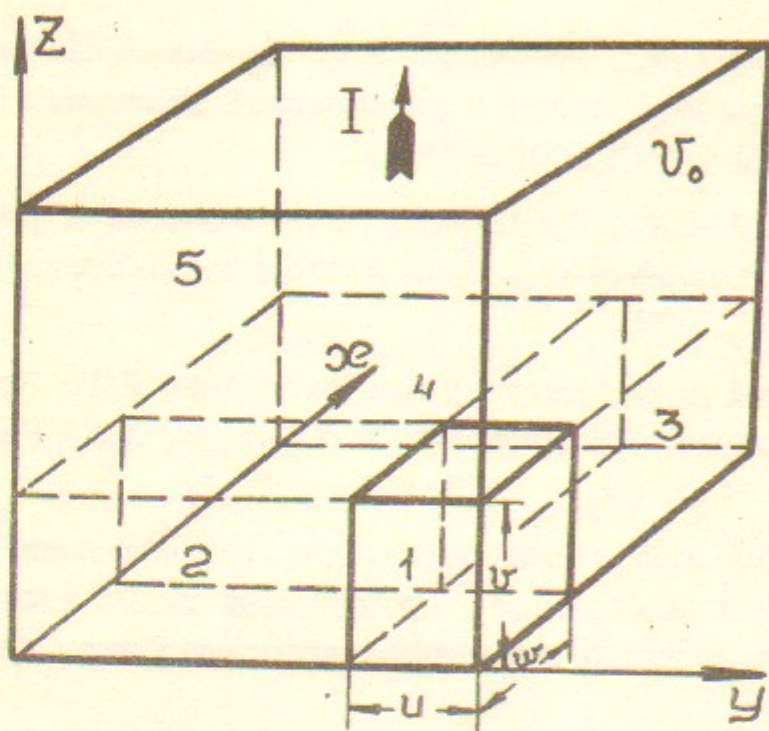


Рис.1

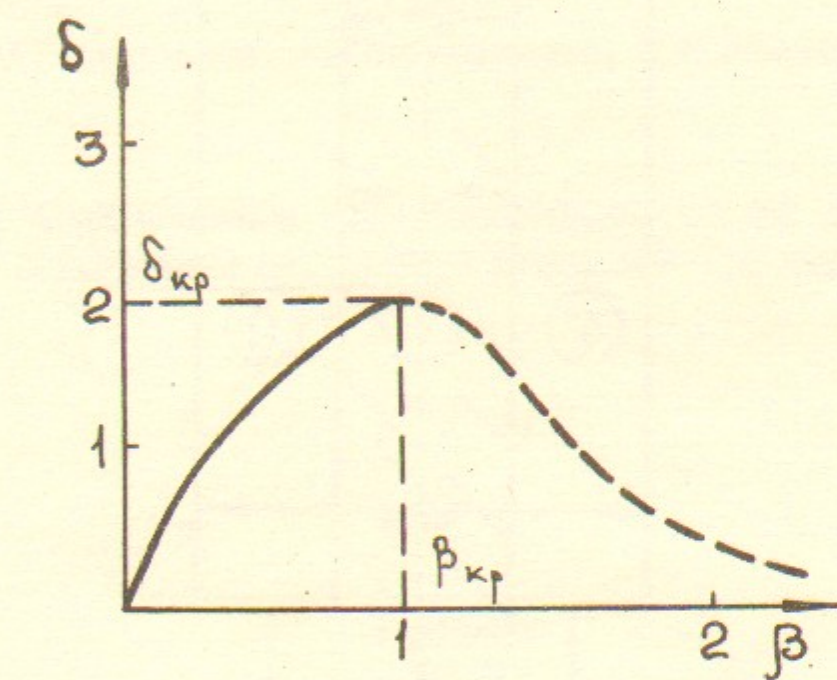


Рис.2

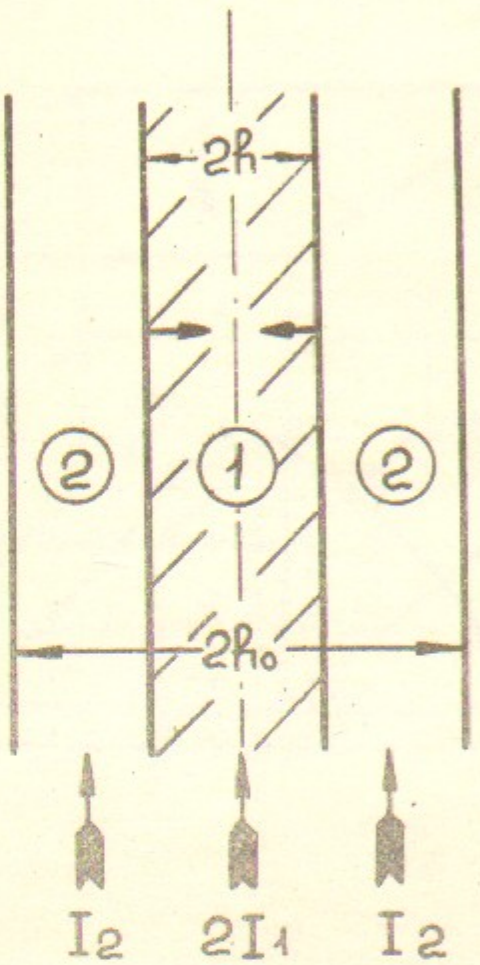


Рис.3

В.Н.Доровский, А.М.Искольдский, Е.И.Роменский

О МОДЕЛИРОВАНИИ ГИДРОДИНАМИЧЕСКОЙ СТАДИИ ФАЗОВЫХ
ПРЕВРАЩЕНИЙ ПРИ ЭЛЕКТРИЧЕСКОМ НАГРЕВЕ МЕТАЛЛОВ

Препринт
№ 83-91

Работа поступила - 19 июля 1983 г.

Ответственный за выпуск - С.Г.Попов
Подписано к печати 12.08.1983г. № 03298
Формат бумаги 60x90 I/16 Усл.л.1,5 печ.л., 1,2 учетно-изд.л.
Тираж 290 экз. Бесплатно. Заказ №91

Ротапринт ИЯФ СО АН СССР, г.Новосибирск, 90